

TABLE N^o. 2.

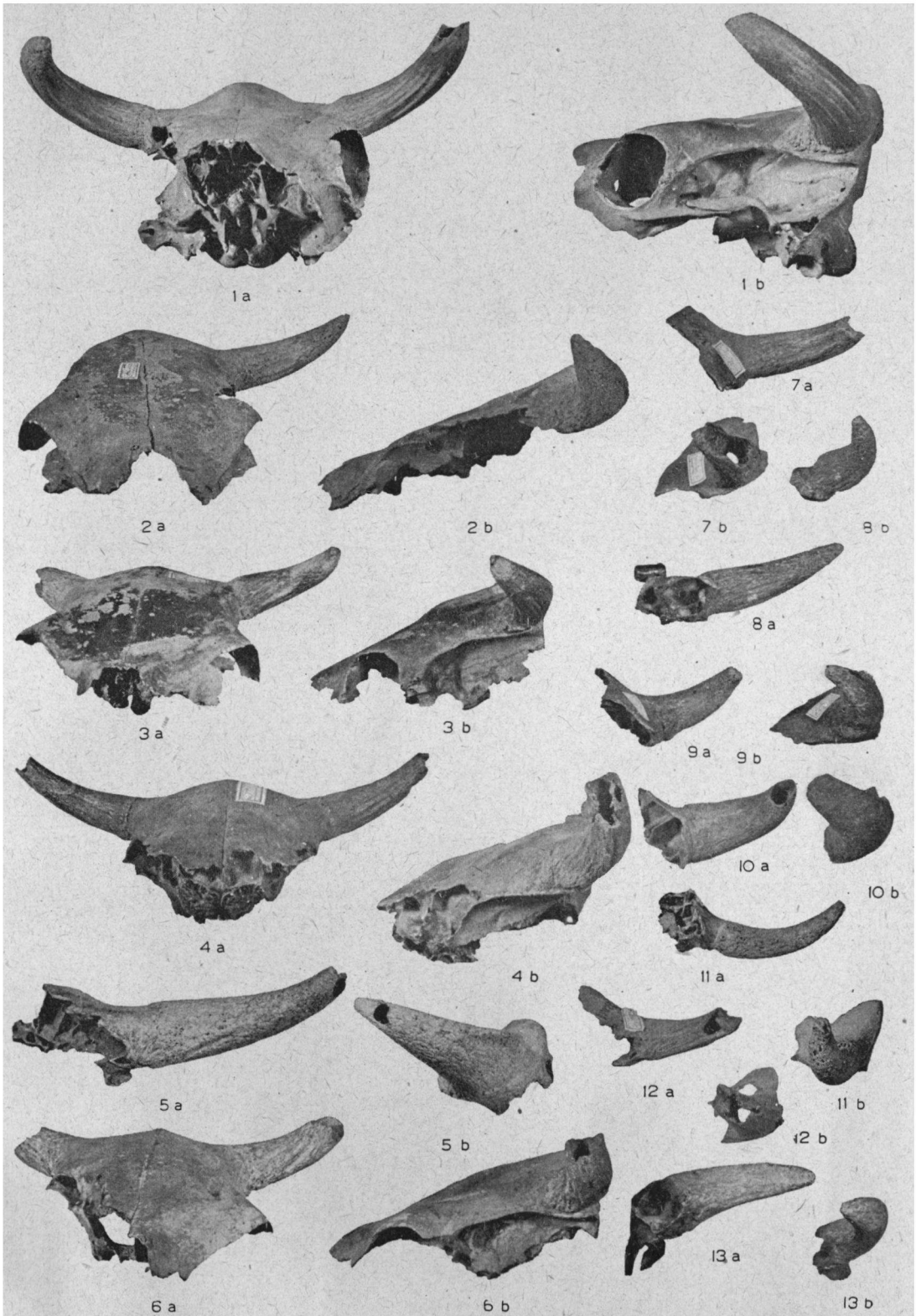
BOS TAURUS FRONTOSUS (NILSSON)	Adametz 1930 recent					Skull from the National Museum of Geology at Leyden Mus. no. 35010 Rotterdam Maesetunnel 4½ m — R.P. fig. no. 26a—b
	Rüttimeyer, 1862 recent	„rotscheckig” swiss cow		„schwarzscheckig” swiss cow		
	3 ♀♀	2 ♂♂	5 ♀♀	2 ♂♂	6 ♀♀	
1. breadth os frontale between roresides horn-cores	—	—	—	—	—	183
2. min. breadth os frontale	—	—	—	—	—	163
3. distance orbitae between anterior points suturae fronto-zygomaticae	—	—	—	—	—	188
4. distance orbitae between posterior points suturae lacrimo-frontales	—	—	—	—	—	143
5. $\frac{2 \times 100}{1}$	—	—	—	—	—	89
6. $\frac{2 \times 100}{3}$	76.5	—	—	—	—	86.6
7. $\frac{1 \times 100}{3}$	102.3	—	—	—	—	97.3
8. $\frac{2 \times 100}{4}$	—	—	—	—	—	114
9. $\frac{4 \times 100}{3}$	—	—	—	—	—	67.4
10. distance backside basis horn-core — post. point sutura lacrimo-frontalis	—	—	—	—	—	176
11. distance fronto-occip. ridge — point of intersection sut. front. and rallying-line backside foramina supra orb.	—	—	—	—	—	101
12. $\frac{11 \times 100}{10}$	—	—	—	—	—	57.5
13. $\frac{3 \times 100}{10}$	93	—	—	—	—	107
14. distance backsides horn-cores	—	—	—	—	—	132
15. min. breadth occiput	—	200—204 (202)	134—156 (148)	193—211 (202)	128—172 (152.7)	104
16. distance processus posteriores of the squamae temporales	—	255—288 (271.5)	221—241 (229.8)	265—282 (273)	211—239 (228.5)	—
17. $\frac{15 \times 100}{14}$	—	—	—	—	—	78.8
18. $\frac{15 \times 100}{16}$	67.7	—	—	—	—	—
19. distance fronto-occ. ridge — underside for. magnum	—	172—175 (173.5)	148—178 (158.8)	180	152—167 (161.7)	—
20. median length for. magnum	—	—	—	—	—	—
21. $\frac{20 \times 100}{19}$	—	—	—	—	—	—
22. $\frac{19 \times 100}{16}$	76.4	—	—	—	—	—
23. frontal diameter basis horn-core	—	—	—	—	—	59
24. occipital diameter basis horn-core	—	—	—	—	—	47
25. $\frac{24 \times 100}{23}$	79.3	—	—	—	—	79.6
26. circumference basis horn-core	—	203—204 (203.5)	137—157 (147.8)	203—211 (207)	132—190 (155)	178
27. length horn-core along outer curvature	—	254—325 (289.5)	174—214 (197.6)	232—300 (266)	157—232 (192)	—
28. length horn-core along inner curvature	—	—	—	—	—	—
29. depth temporal fossa	—	103.8—104 (103.9)	67—90 (77.9)	98.5—101 (99.8)	72.5—90 (78)	—
30. breadth temporal fossa	—	44—75 (59.5)	42—50 (45.4)	44—52 (48)	40—47 (44.7)	—
31. $\frac{30 \times 100}{29}$	—	41.5—72.5 (57)	48.9—74.7 (59.2)	44.7—53.7 (48.1)	57.9—66.7 (61.4)	—

TABLE N^o. 4.

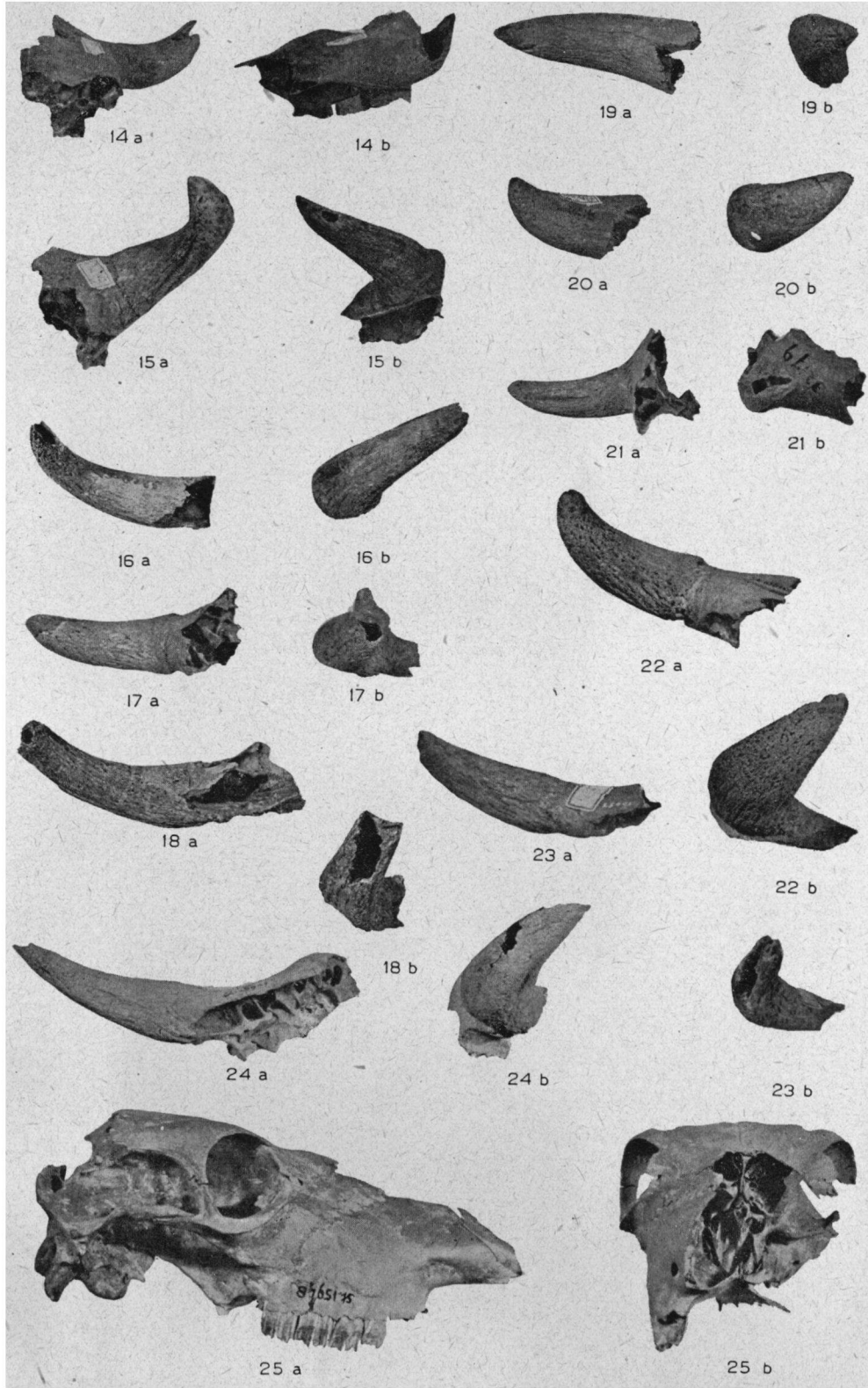
BOS TAURUS TROCHOCEROS (v. MEYER)	Rüttimeyer, 1862 early Sub- boreal	Degerbøl, 1939.						SKULLS AND HORN-CORES FROM THE NATIONAL MUSEUM OF GEOLOGY AT LEYDEN					
		Stone-age Denmark						early Sub- boreal	Mus. no. 40295 Mound Friesland fig. no. 42a—b	Mus. no. 28413 Waters of Zealand fig. no. 43a—b	Mus. no. 40294 Mound Friesland fig. no. 44a—b	Mus. no. 14183 Maas- tricht fig. no. 45a—b	Mus. no. 32162 Heeswijk 3-4 m — fig. no. 46a—b
1. breadth os frontale between foresides horn-cores	165—175	—	—	—	—	—	—	222	251 ✓	—	224	177	
2. min. breadth os frontale	181	—	—	—	—	—	—	—	—	—	197	162	
3. distance orbitae between anterior points suturae fronto-zygomaticae	220	—	—	—	—	—	—	—	—	—	236	204	
4. distance orbitae between posterior points suturae lacrimo-frontales	—	—	—	—	—	—	—	—	—	—	162	143	
5. $\frac{2 \times 100}{1}$	—	—	—	—	—	—	—	—	—	—	87.9	94.7	
6. $\frac{2 \times 100}{3}$	82.3	—	—	—	—	—	—	—	—	—	83.5	79.4	
7. $\frac{1 \times 100}{3}$	—	—	—	—	—	—	—	—	—	—	94.9	83.8	
8. $\frac{2 \times 100}{4}$	—	—	—	—	—	—	—	—	—	—	121.6	113.3	
9. $\frac{4 \times 100}{3}$	—	—	—	—	—	—	—	—	—	—	68.6	70	
10. distance backside basis horn-core — post. point sutura lacrimo-frontalis	210	—	—	—	—	—	—	—	—	—	214	191	
11. distance fronto-occip. ridge — point of intersection sut. front. and rallying-line backsides foramina supra orb.	—	—	—	—	—	—	—	—	—	—	137	126	
12. $\frac{11 \times 100}{10}$	—	—	—	—	—	—	—	—	—	—	64	65.9	
13. $\frac{3 \times 100}{10}$	105	—	—	—	—	—	—	—	—	—	110.3	106.8	
14. distance backsides horn-cores	—	—	—	—	—	—	—	187	221	—	185	137	
15. min. breadth occiput	—	—	—	—	—	—	—	—	—	—	153	129	
16. distance processus posteriores of the squamae temporales	215	—	—	—	—	—	—	—	—	—	234	—	
17. $\frac{15 \times 100}{14}$	—	—	—	—	—	—	—	—	—	—	82	94.2	
18. $\frac{15 \times 100}{16}$	—	—	—	—	—	—	—	—	—	—	65.4	—	
19. distance fronto-occ. ridge — underside for. magnum	—	—	—	—	—	—	—	—	—	—	149	140	
20. median length for. magnum	—	—	—	—	—	—	—	—	—	—	—	37	
21. $\frac{20 \times 100}{19}$	—	—	—	—	—	—	—	—	—	—	—	26.4	
22. $\frac{19 \times 100}{16}$	—	—	—	—	—	—	—	—	—	—	63.7	—	
23. frontal diameter basis horn-core	50—76	74	80	79	66	58	60—70	72	63	62	61	66	
24. occipital diameter basis horn-core	38—65	60	53	52	56	43	36—51	52	54	44	52	48	
25. $\frac{24 \times 100}{23}$	—	81.1	66.6	65.8	85	74	62.5—67.8	72.2	85.6	71	85.2	72.7	
26. circumference basis horn-core	135—215	200	210	210	200	—	150—198	192	190	155	176	192	
27. length horn-core along outer curvature	380—400	—	—	—	—	—	192—360	ab. 270	—	—	—	—	
28. length horn-core along inner curvature	—	—	—	—	—	—	—	ab. 220	—	—	—	—	
29. depth temporal fossa	—	—	—	—	—	—	—	—	—	—	35	32	
30. breadth temporal fossa	—	—	—	—	—	—	—	—	—	—	39	36	
31. $\frac{30 \times 100}{29}$	—	—	—	—	—	—	—	—	—	—	111.5	112.5	

TABLE N^o. 5.

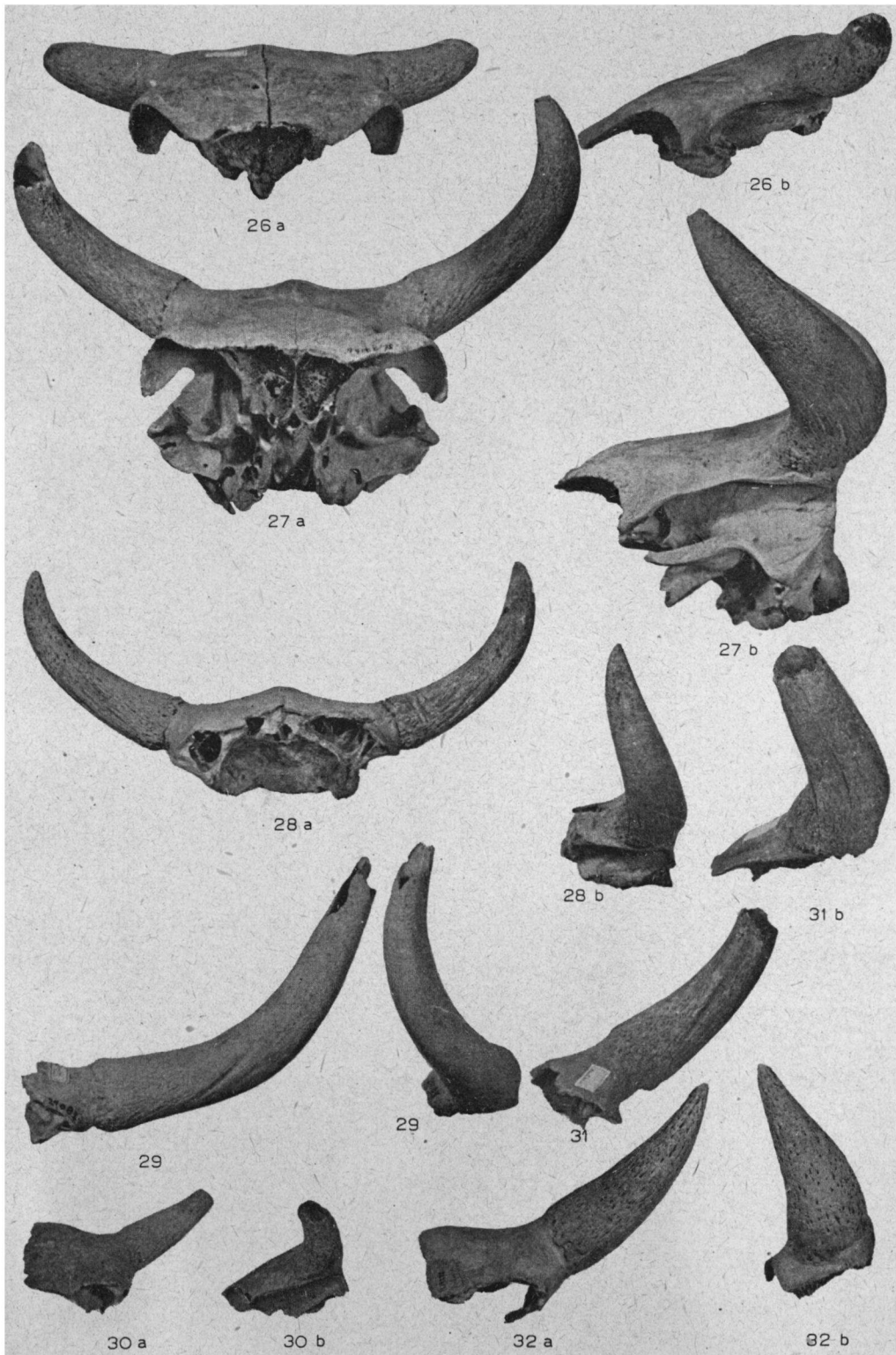
BOS PRIMIGENIUS BOJ.	Adametz, 1930		SKULLS AND HORN-CORES FROM THE NATIONAL MUSEUM OF GEOLOGY AT LEYDEN											
			Mus. no. 12292	Mus. no. 14048	Mus. no. 14184	Mus. no. 14185	Mus. no. 42338	Mus. no. 33699	Mus. no. 30830	Mus. no. 30496	Mus. no. 35132a	Mus. no. 35132b	Mus. no. 33016	Mus. no. 32717
	Lutter- zijk ♂	Enter- broek ♂	Ammer- zoden ♂	Nieuwe Merwede ♂	Ter- schelling ♀	Maesetunnel, Rotterdam 8 m — R.P.	Dinther, 1.80 m — ♂	Veghel, 3 m — ♂	Maese-tunnel Rotterdam, 5½ m — R. P.		Maese-tunnel Rotterdam			
	♀♀	♂♂	fig. no. 47	fig. no. 48	fig. no. 49	fig. no. 50	fig. no. 51	fig. no. 52	fig. no. 53	fig. no. 54	fig. no. 55	fig. no. 56	fig. no. 57	fig. no. 58
1. breadth os frontale between foresides horn-cores	—	—	317	—	264	—	227	—	240	—	—	—	—	—
2. min. breadth os frontale	—	—	248	—	242	—	—	—	217	—	—	—	—	—
3. distance orbitae between anterior points suturae fronto-zygomaticae	—	—	348	—	—	—	—	—	300	—	—	—	—	—
4. distance orbitae between posterior points suturae lacrimo-frontales	—	—	300	—	—	—	—	—	230	—	—	—	—	—
5. $\frac{2 \times 100}{1}$	—	—	78.2	—	91.7	—	—	—	90.5	—	—	—	—	—
6. $\frac{2 \times 100}{3}$	—	—	71.2	—	—	—	—	—	72.2	—	—	—	—	—
7. $\frac{1 \times 100}{3}$	—	—	91	—	—	—	—	—	80	—	—	—	—	—
8. $\frac{2 \times 100}{4}$	—	—	82.7	—	—	—	—	—	94.4	—	—	—	—	—
9. $\frac{4 \times 100}{3}$	—	—	81.1	—	—	—	—	—	76.6	—	—	—	—	—
10. distance backside basis horn-core — post. point sutura lacrimo-frontalis	—	—	362	—	—	—	—	—	268	—	—	—	—	—
11. distance fronto-occip. ridge — point of intersection sut. front. and rallying-line backsides foramina supra orb.	—	—	228	—	—	—	—	—	126	—	—	—	—	—
12. $\frac{11 \times 100}{10}$	—	—	63	—	—	—	—	—	47	—	—	—	—	—
13. $\frac{3 \times 100}{10}$	—	—	96	—	—	—	—	—	112	—	—	—	—	—
14. distance backsides horn-cores	—	—	287	—	241	—	217	—	202	—	—	—	—	—
15. min. breadth occiput	150—172	207—257	230	—	210	—	—	—	197	—	—	—	—	—
16. distance processus posteriores of the squamae temporales	222—251	280—337	338	—	313	—	—	—	288	—	—	—	—	—
17. $\frac{15 \times 100}{14}$	—	—	80.2	—	87.1	—	—	—	96.5	—	—	—	—	—
18. $\frac{15 \times 100}{16}$	—	—	68	—	67.1	—	—	—	68.4	—	—	—	—	—
19. distance fronto-occ. ridge — underside for. magnum	173—199	209—240	276	—	218	—	—	—	—	—	—	—	—	—
20. median length for. magnum	—	—	53	—	49	—	—	—	—	—	—	—	—	—
21. $\frac{20 \times 100}{19}$	—	—	19.3	—	22.5	—	—	—	—	—	—	—	—	—
22. $\frac{19 \times 100}{16}$	—	—	81.7	—	69.6	—	—	—	—	—	—	—	—	—
23. frontal diameter basis horn-core	—	—	140	117	122	112	75	83	95	110	78	70	86	89
24. occipital diameter basis horn-core	—	—	104	108	97	89	61	61	74	84	57	58	69	70
25. $\frac{24 \times 100}{23}$	—	—	72.8	92.1	80	79.5	81.3	73.5	77.9	76.4	73	82.8	80.2	78.5
26. circumference basis horn-core	191—222	293—370	405	355	372	323	226	227	265	390	204	220	248	254
27. length horn-core along outer curvature	357—509	445—720	760	—	ab. 640	760	400	—	550	710	—	—	—	—
28. length horn-core along inner curvature	—	—	590	—	ab. 520	585	300	—	420	560	—	—	—	—
29. depth temporal fossa	44—51	38—48	47	—	—	—	—	—	44	—	—	—	—	—
30. breadth temporal fossa	34—42	25—46	47	—	—	—	—	—	44	—	—	—	—	—
31. $\frac{30 \times 100}{29}$	69.4—95.5	52.1—115.8	100	—	—	—	—	—	100	—	—	—	—	—



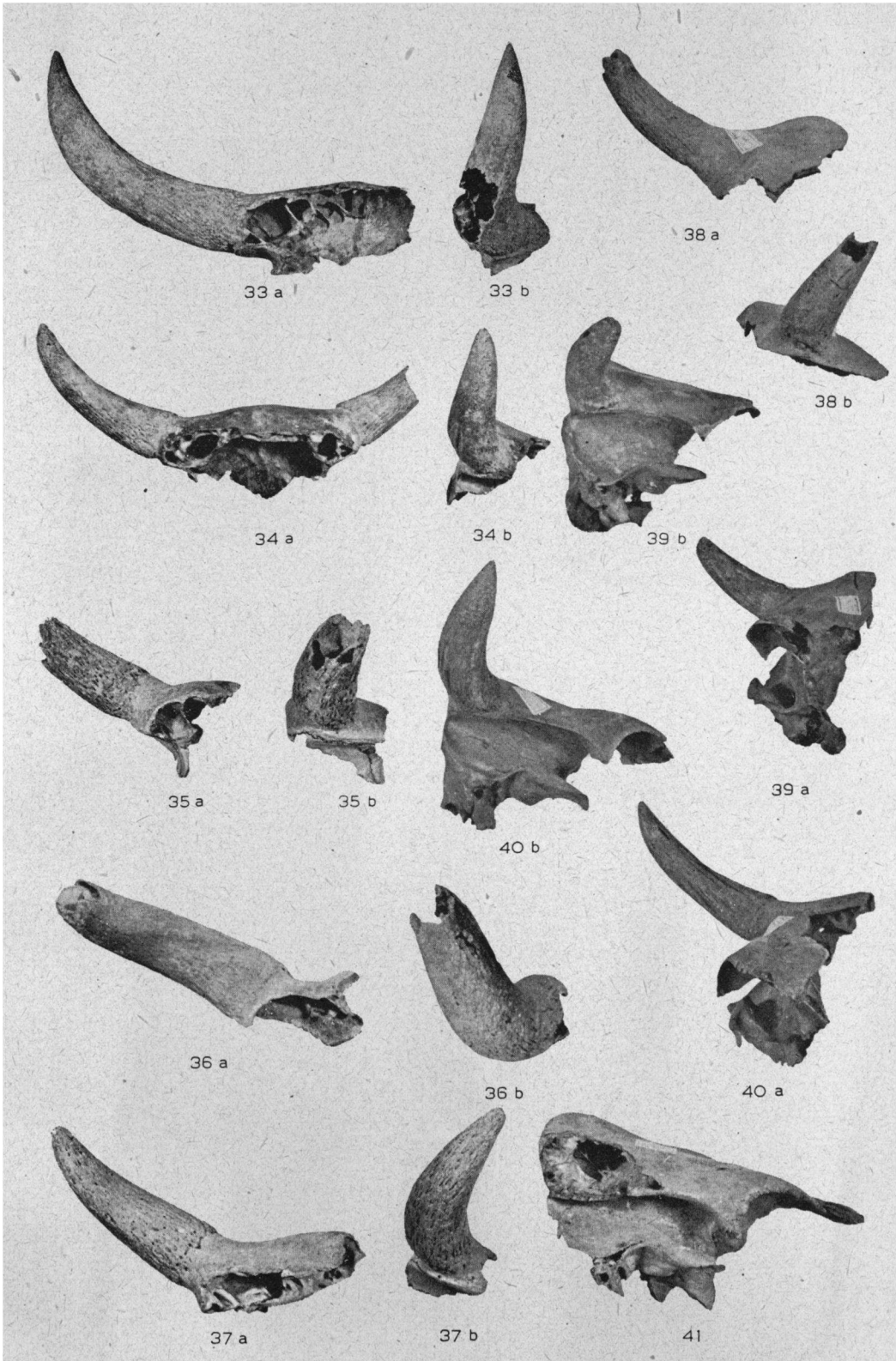
BOS TAURUS BRACHYCEROS (OWEN) (1/5x)



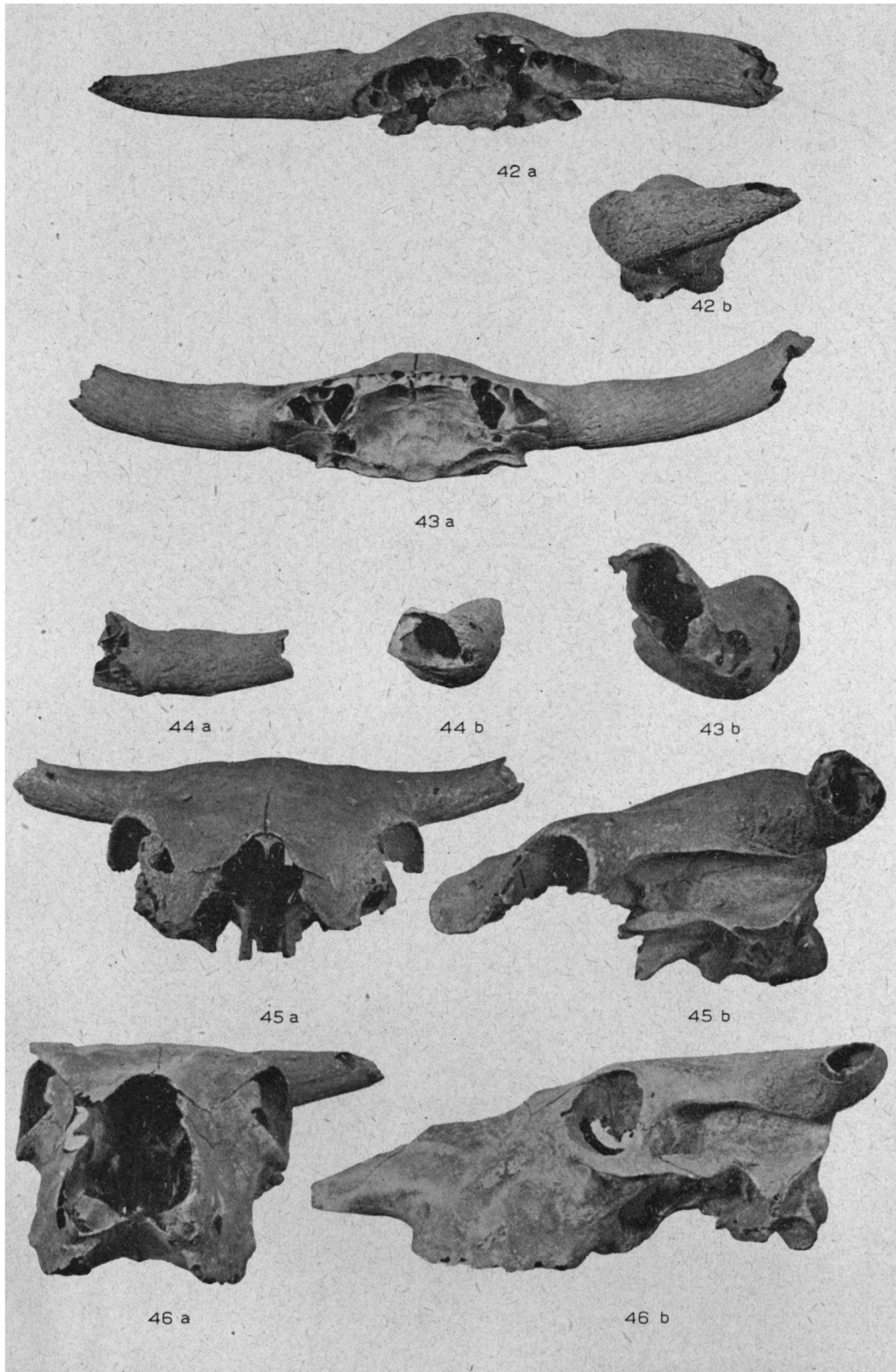
BOS TAURUS BRACHYCEROS (OWEN) (1/5 x)



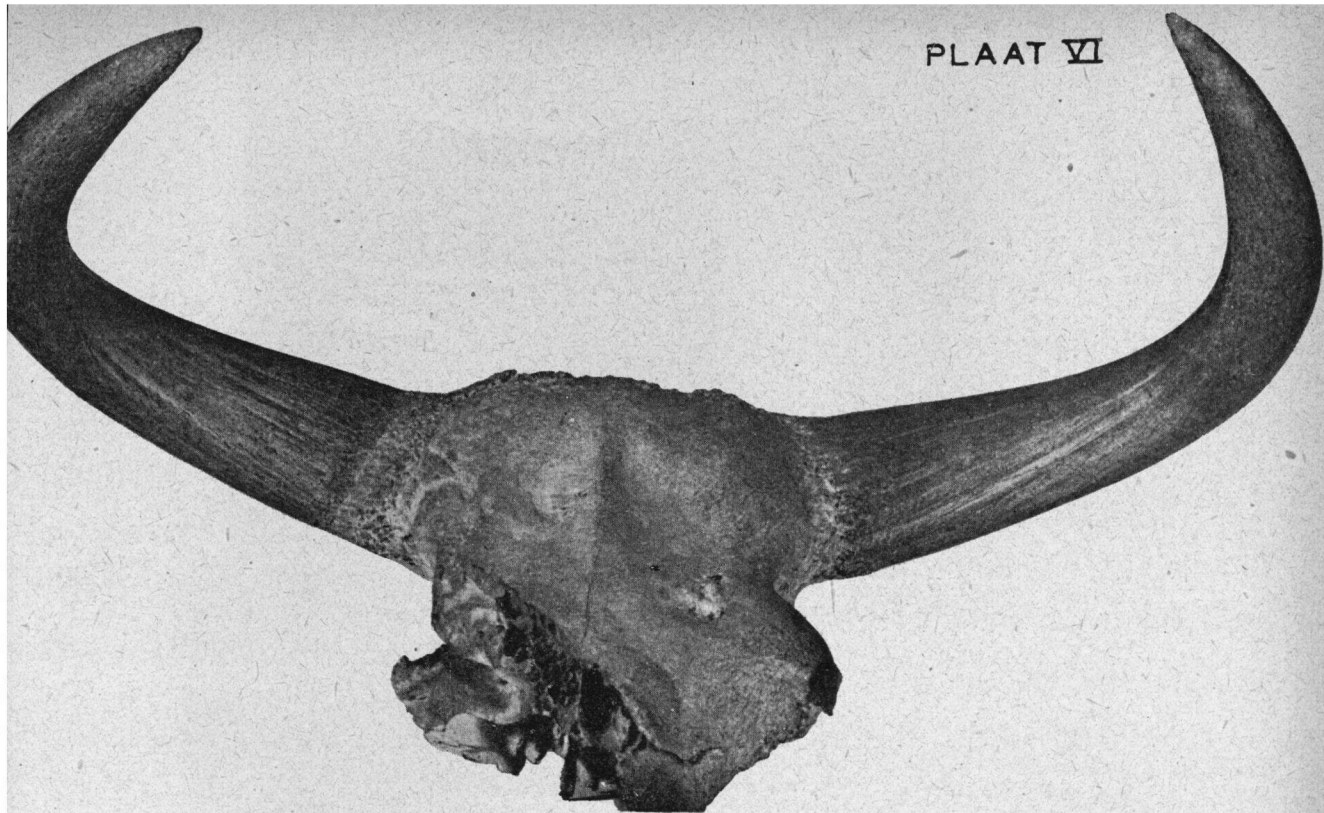
26: BOS TAURUS FRONTOSUS (NILSSON) ($\frac{1}{5}$ x)
 27-32: BOS TAURUS PRIMIGENIUS (RÜTIM) ($\frac{1}{5}$ x)



BOS TAURUS PRIMIGENIUS RUTIM (1/5x)



BOS TAURUS TROCHOCEROS (v. MEYER) (1/5 x)

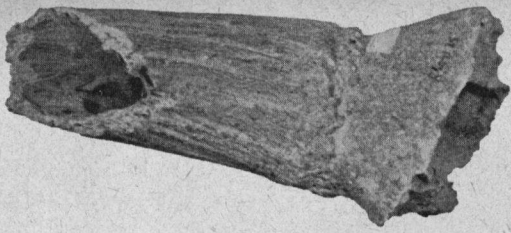


47 a

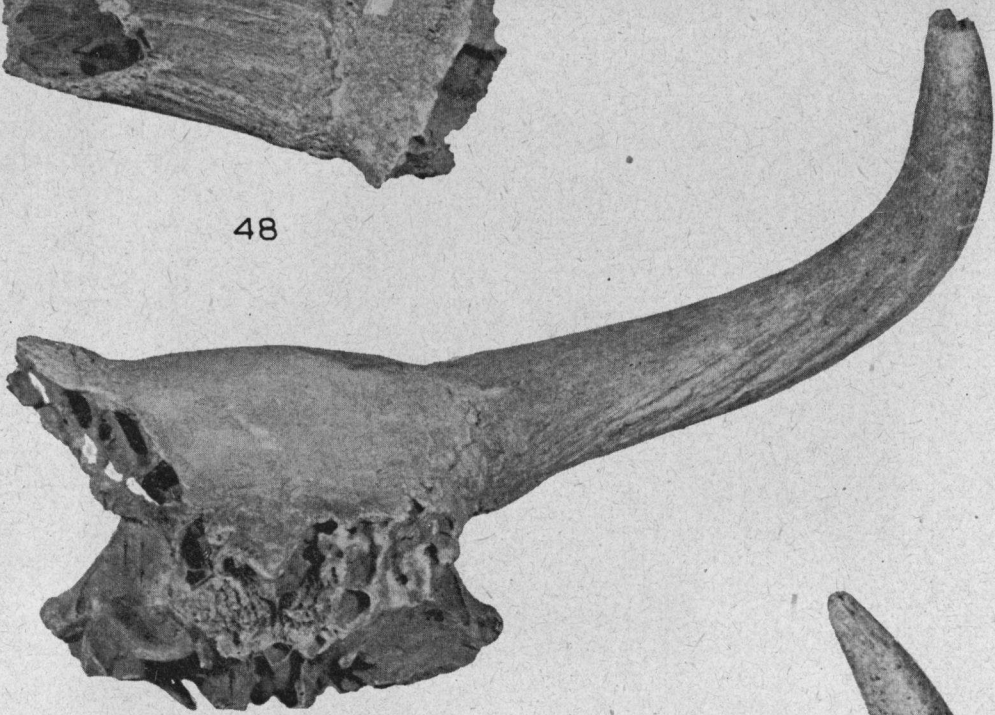


47 b

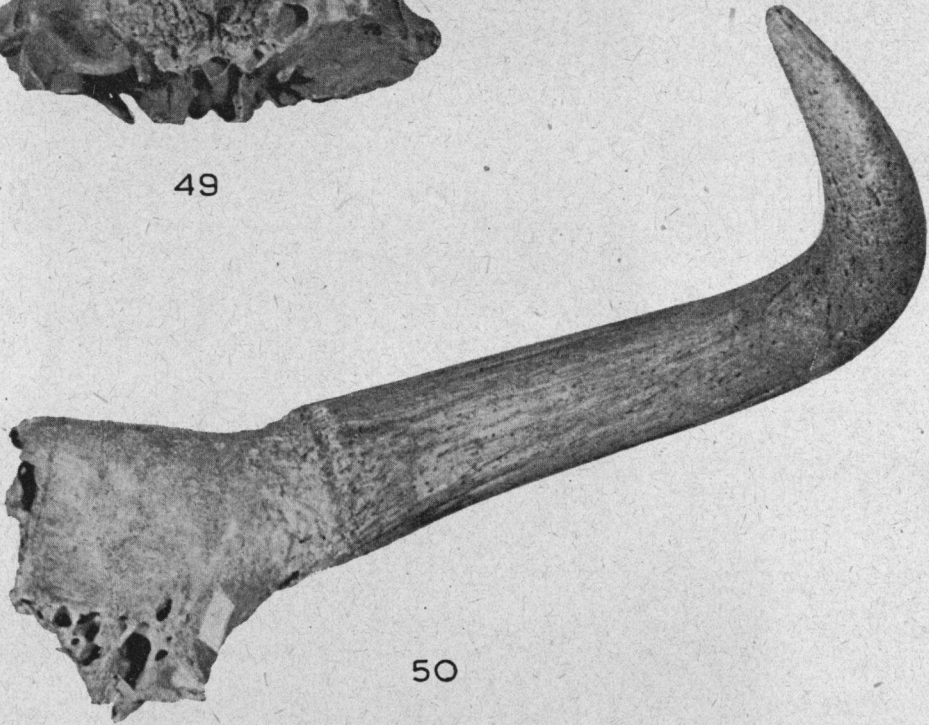
BOS PRIMIGENIUS BOJ. ♂ (1/5 x)



48



49

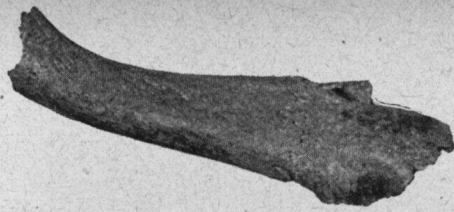


50

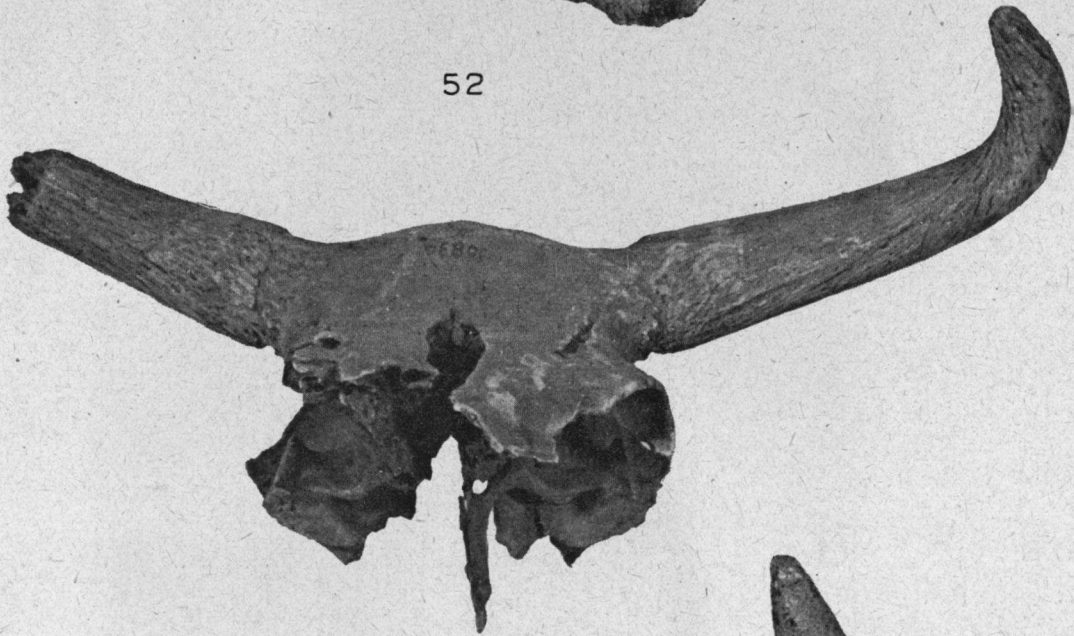


51

BOS PRIMIGENIUS BOJ. 48-50: ♂♂ 51: ♀ (1/5x)



52



53



54



55



57

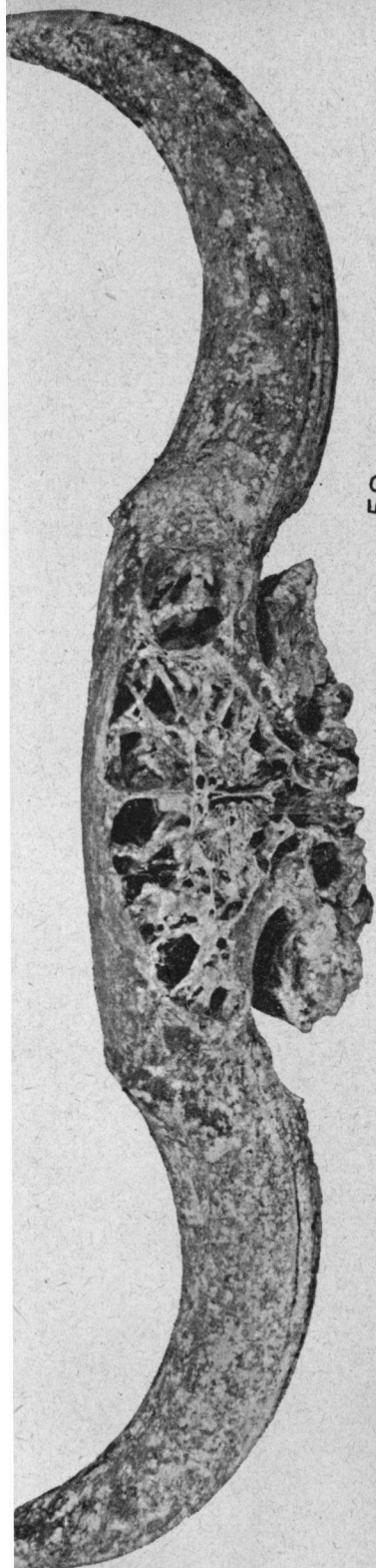


56



58

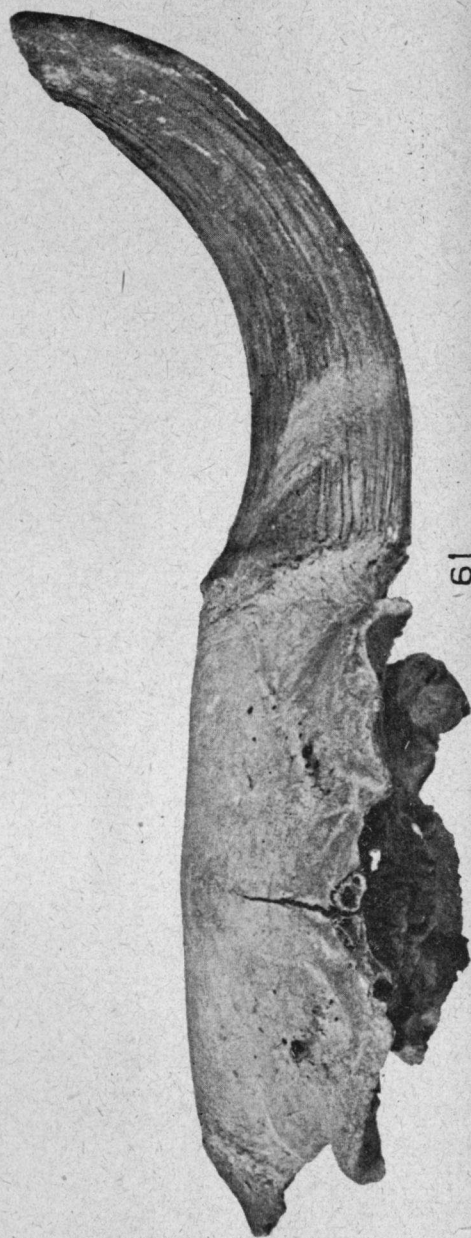
BOS PRIMIGENIUS BOJ. 53-54: ♂♂ (1/5 x)



59

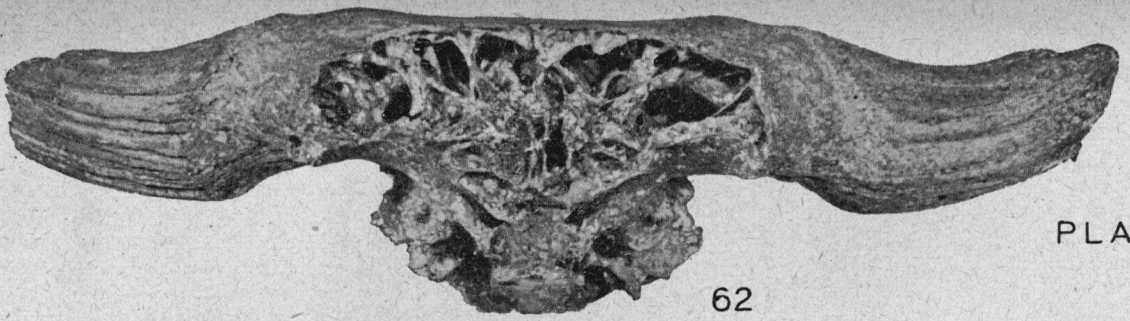


60

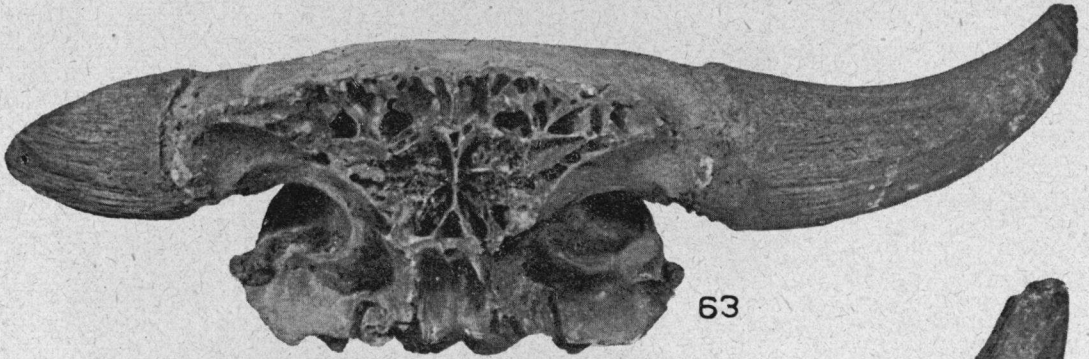


61

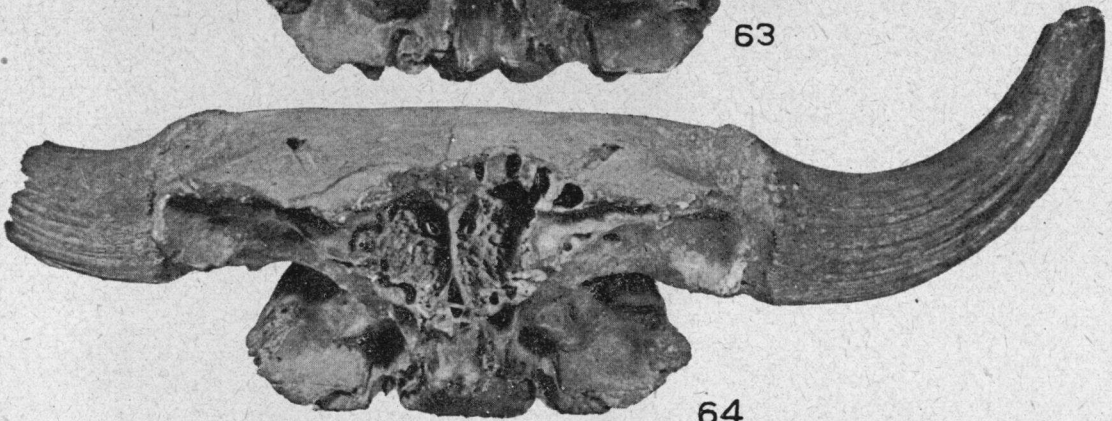
BISON PRISCUS
LONGICORNIS
GROM
59-61: ♂♂
60: ♀ (1/5 x)



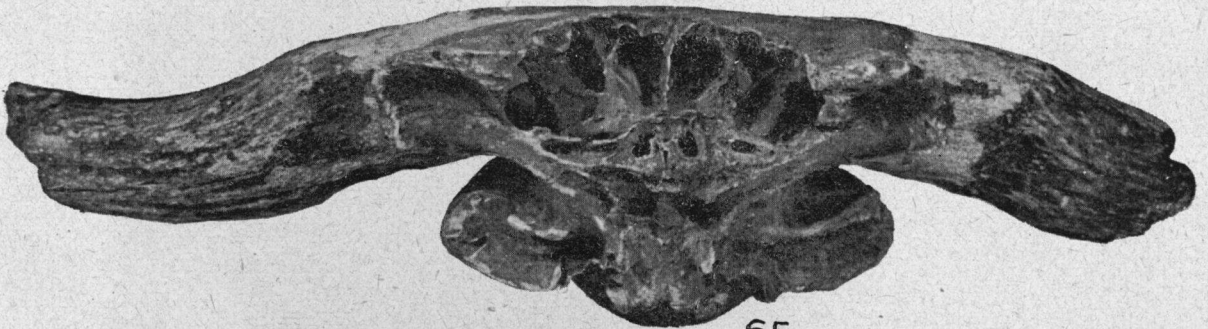
62



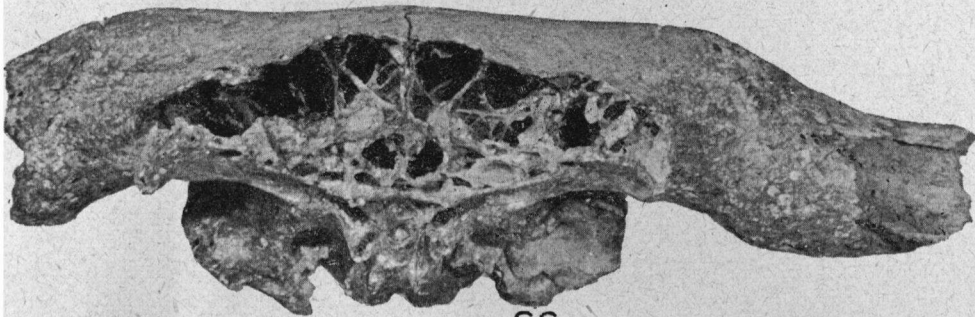
63



64



65

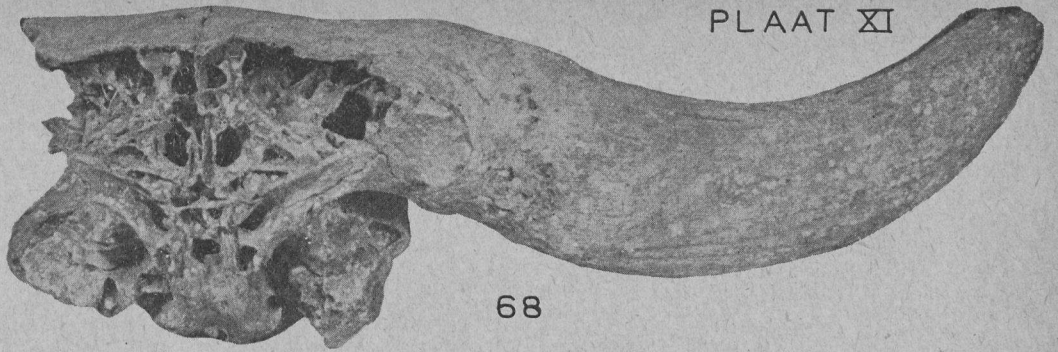


66

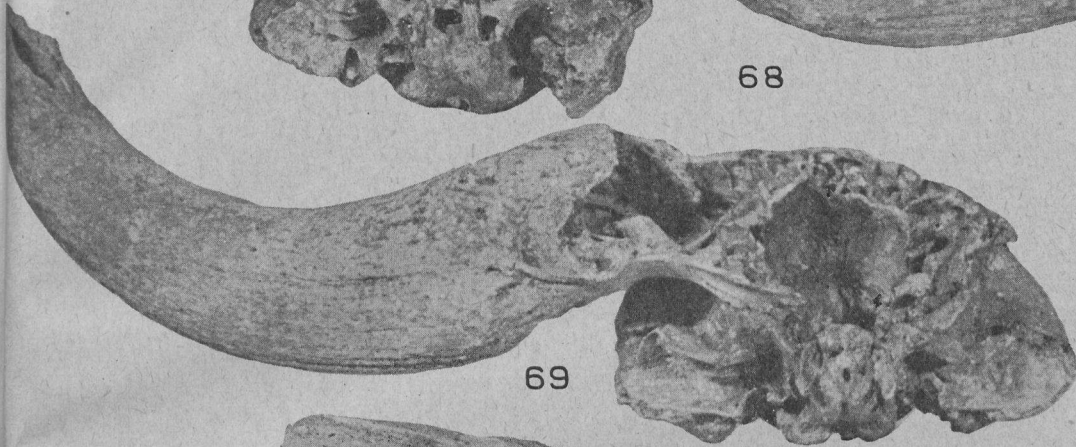


67

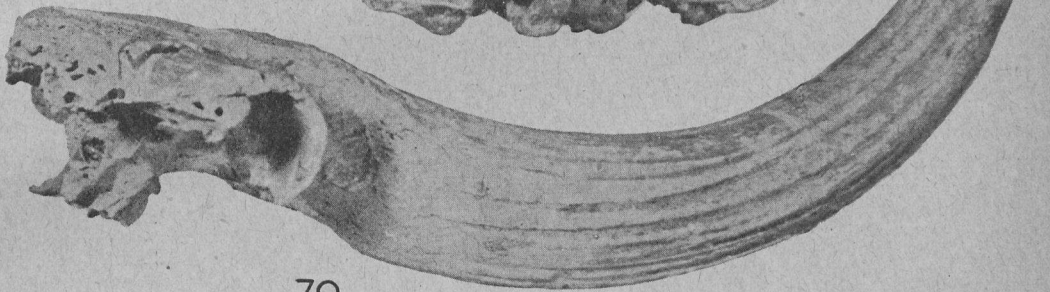
2 en 65-67: *Bison priscus*
longicornis Grom.
62, 66, 67 : ♂♂ 65 : ♀
3-64. *Bison priscus deminutus*
63 : ♀ 64 : ♂ (1/5 x) Grom.



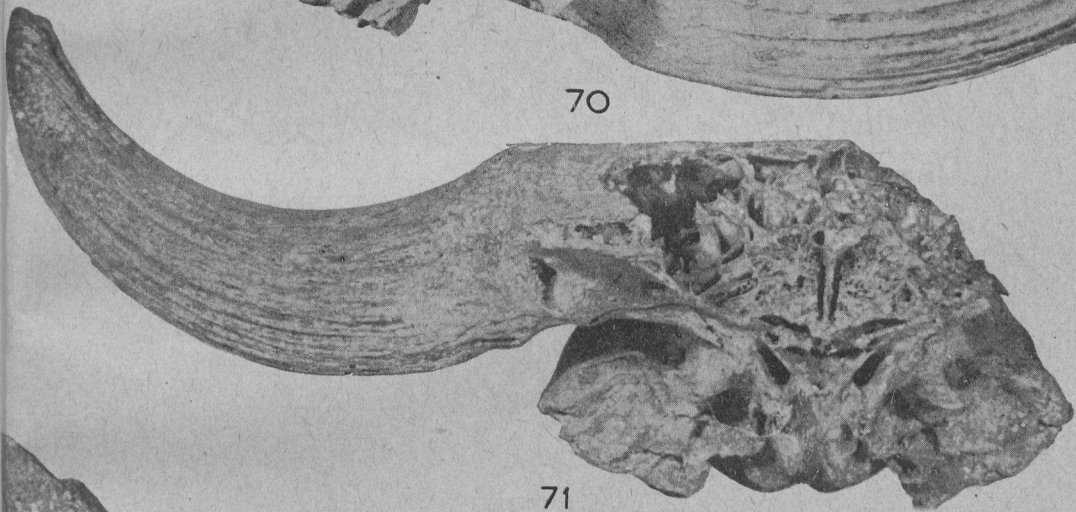
68



69



70



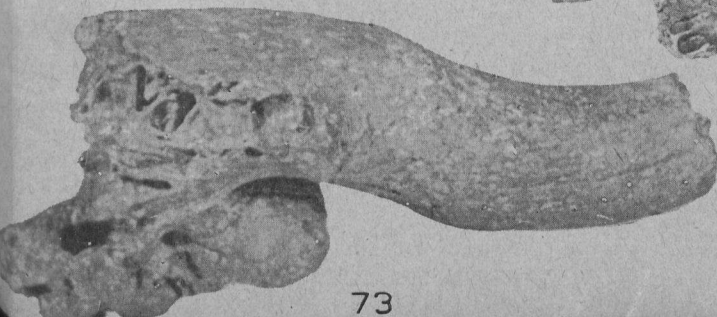
71



72



74



73

BISON PRISCUS
LONGICORNIS GROM
(1/5 x) ♂♂